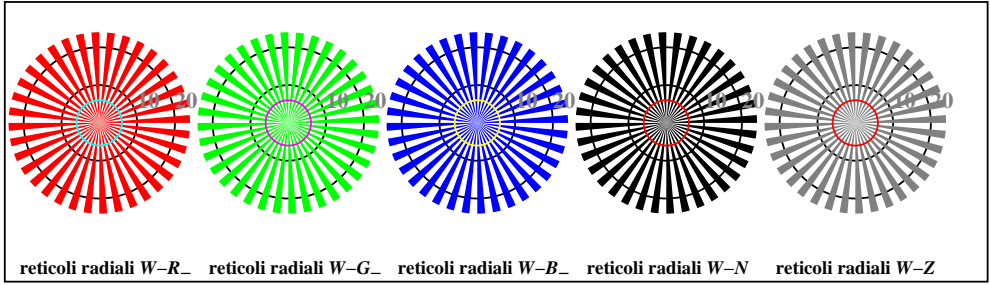
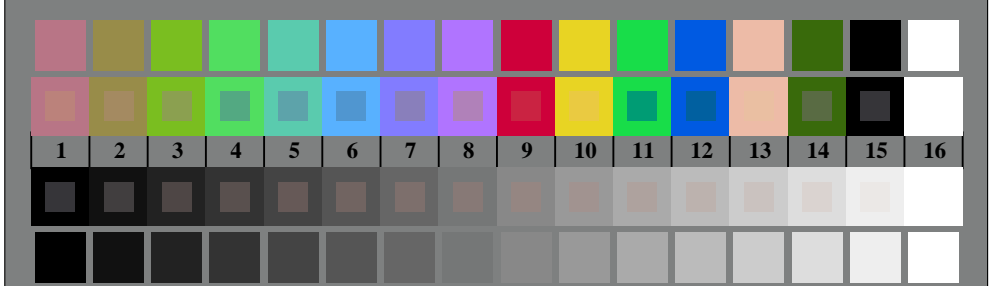
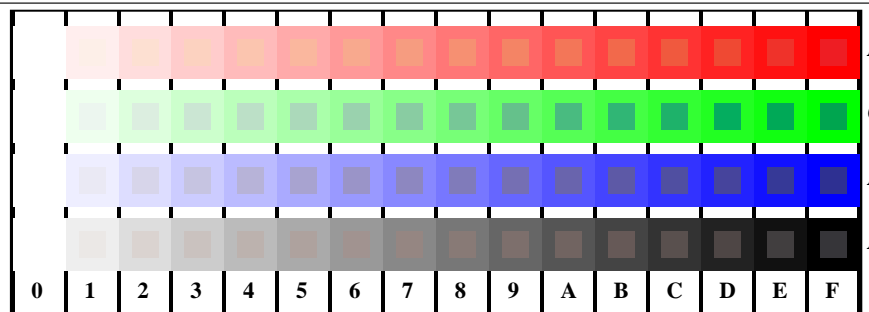




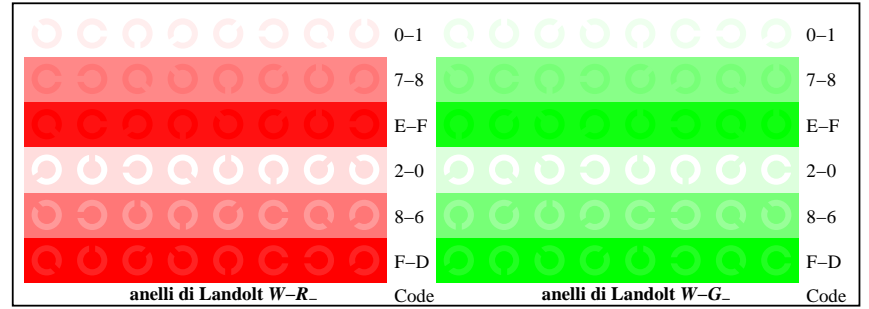
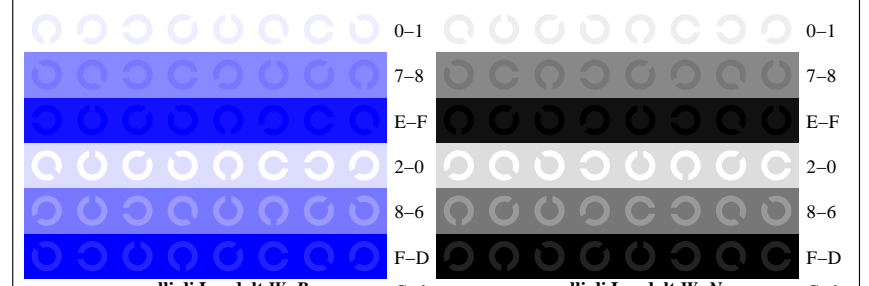
TI890-3, Fig. D1W-: motivo floreale, 14 prova colori CIE i 2 + 16 grigio passi (sf); PS 4 colorimage



reticolli radiali W-R\_ reticolli radiali W-G\_ reticolli radiali W-B\_ reticolli radiali W-N reticolli radiali W-Z

TI890-5, Fig. D2W-: reticolli radiali W-R\_; W-G\_; W-B\_; W-N; PS operator  $rgb \rightarrow rgb\_setrgbcolor$ TI890-7, Fig. D3W-: 14 prova colori CIE i 2 + 16 grigio passi (sf);  $rgb/cmky0$  set( $rgb/cmky$ ).colorGrafico TUB-TI89; 4(ISO/IEC 15775 & ISO/IEC TR 24705)  
Tavola dei colori cromatici RGBTI891-1, Fig. D4W-: 16 equidistante passi W-R\_ ; W-G\_ ; W-B\_ ; W-N;  $rgb/cmky0$  set( $rgb/cmky$ ).color

+-.:	0	1	2	3	4	5	6	7	8	9	A	B	C	D	E	F
xyz;	lmno															
tuvw	hijk															
pqrs	defg															
!abc	!abc	!abc	!abc	!abc	!abc	!abc	!abc	!abc	!abc	!abc	!abc	!abc	!abc	!abc	!abc	!abc
lmno	xyz;															
hijk	tuvw															
defg	pqrs															
!abc	!abc	!abc	!abc	!abc	!abc	!abc	!abc	!abc	!abc	!abc	!abc	!abc	!abc	!abc	!abc	!abc
10	N R_G_B_Z															

TI891-3, Fig. D5W-: codice i Landolt anelli N; R\_ ; G\_ ; B\_ ; Z; PS operator  $rgb \rightarrow rgb\_setrgbcolor$ TI891-5, Fig. D6W-: anelli di Landolt W-R\_ ; W-G\_ ; PS operator  $rgb\ setrgbcolor$ TI891-7, Fig. D7W-: anelli di Landolt W-B\_ ; W-N; PS operator  $rgb\ setrgbcolor$ Input:  $rgb/cmky$  ->  $w/rgb/cmky$   
Output: nessun cambiamento